

УДК 548 : 537.226.4

## КИНЕТИКА ПРОЦЕССА ПЕРЕКЛЮЧЕНИЯ ЛОКАЛЬНО ОБЛУЧЕННЫХ ОБРАЗЦОВ ТРИГЛИЦИНСУЛЬФАТА

*Л. И. Донцова, Н. А. Тихомирова, А. В. Гинзберг*

Методом нематических жидкких кристаллов (НЖК) изучен процесс переполяризации образцов ТГС, локально облученных рентгеновскими лучами вдоль и перпендикулярно  $P_s$  в монодоменном состоянии. Показано, что независимо от расположения облученной области в образце формируется внутреннее поле, которое проявляется в наличии порогового поля переключения части образца, содержащей облученную область. Распределение пороговых полей в образце  $E_n = E_{0n} e^{-kx}$  коррелирует с законом Бугера—ЛамBERTA  $I = I_0 e^{-\mu x}$ . При этом поглощение рентгеновских лучей кристаллами ТГС избирательно и имеется не менее трех полос поглощения квантов рентгеновского излучения, приводящих к возникновению нескольких видов радиационных дефектов.

Радиационные дефекты, создаваемые различными видами излучения в сегнетоэлектрических материалах, приводят к возникновению внутреннего смещающего поля и существенно изменяют те характеристики образцов, которые связаны с процессами переполяризации:  $\epsilon(E)$ ,  $\tau_s(E)$ ,  $P(E)$ ,  $\operatorname{tg} \delta(E)$  [1]. Все эти величины являются усредненными для каждого образца, а их зависимости от дозы облучения измеряются на разных образцах, что не позволяет однозначно судить о влиянии только радиационных дефектов. В настоящей работе использован метод НЖК, позволяющий непосредственно наблюдать изменение динамики доменов после облучения и количественно оценивать процесс переполяризации по таким характеристикам, как время переключения  $\tau_s$  и скорость бокового движения доменных стенок  $v$  [2]. Кроме того, образцы облучались локально, что позволяет сравнивать процесс переполяризации в облученной и необлученной областях одного и того образца.

Исследования проводились на образцах, изготовленных из однородных блоков пирамиды  $\{m\}$  кристалла ТГС, выращенного в сегнетоэлектрической области температур методом постоянного пересыщения. Затем образцы отжигались при  $T=110$  °С в течение 2—4 ч, охлаждались до комнатной температуры со средней скоростью  $\sim 1$  °/мин и монодоменизировались полем  $E=1.5$  кВ/см. Отобранные методом НЖК однородные монодоменные образцы облучались при комнатной температуре через соответствующие диафрагмы различной дозой рентгеновского излучения от трубки БСВ-4 с молибденовым анодом на установке УРС-60. Поглощенная доза рассчитывалась по методике, предложенной в [3]. Для выяснения роли полярной поверхности в процессе зарождения доменов и формирования внутреннего смещающего поля облучение производилось как по полярной оси, так и перпендикулярно ей.

### 1. Результаты

1) Облучение образцов ТГС по  $P_s$ . Облучение образцов ТГС размером  $10 \times 10 \times 1$  мм производилось через диафрагму  $\varnothing 1$  мм. Наблюдение процесса переполяризации производилось через различные

промежутки времени после облучения. Как показано в [4], в процессе поляризации и последующего старения в монодоменизованных образцах ТГС формируется пороговое поле  $E_{\text{пм}}$ . Пороговое поле облученной области  $E_{\text{пм}}$  создается в процессе облучения, возрастая пропорционально дозе (до доз  $\leq 10$  Мрад), и, как показано в [5], продолжает возрастать в процессе старения с большим ( $\sim 10^6$  ч) временем релаксации. При этом всегда  $E_{\text{пм}} \gg E_{\text{пн}}$ .

В синусоидальных электрических полях  $E_{\text{пн}} < E_{\text{п}} < E_{\text{пм}}$  переключение из исходного монодоменного состояния (имевшегося при облучении) начинается образованием зародышей в необлученной области («матрице»). При визуализации методом НЖК она выглядит темной. В полях  $E_{\text{п}} > E_{\text{пм}}$  в облученной области также начинается процесс переполяризации образования зародышей доменов (рис. 1, а).

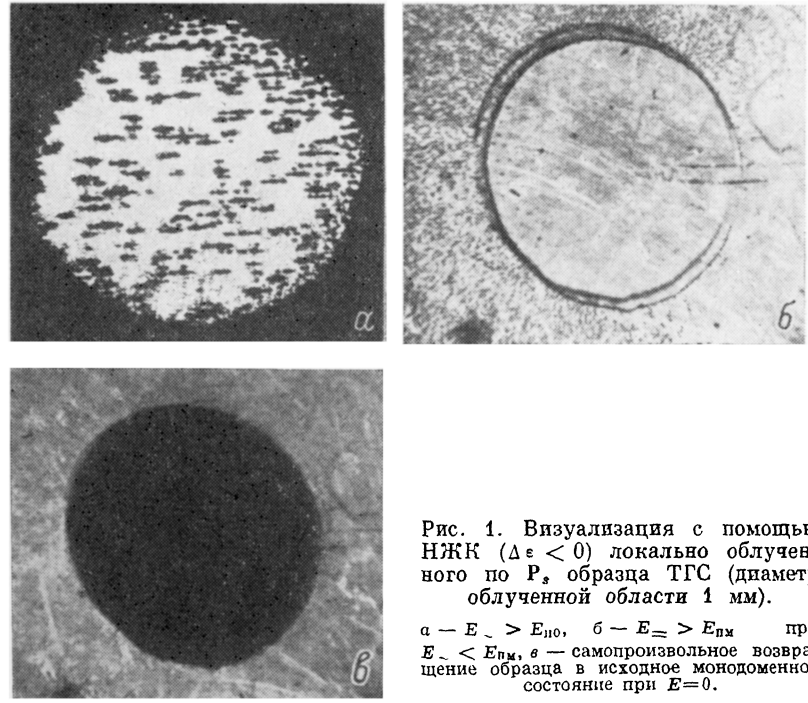


Рис. 1. Визуализация с помощью НЖК ( $\Delta \epsilon < 0$ ) локально облученного по  $P_z$  образца ТГС (диаметр облученной области 1 мм).

а —  $E_{\text{п}} > E_{\text{пм}}$ , б —  $E_{\text{п}} > E_{\text{пм}}$  при  $E_{\text{п}} < E_{\text{пм}}$ , в — самопроизвольное возвращение образца в исходное монодоменное состояние при  $E=0$ .

В постоянных электрических полях  $E_{\text{пн}} < E_{\text{п}} < E_{\text{пм}}$  переключение происходит путем образования зародышей доменов в матрице, их последующего роста боковым движением доменных стенок и коалесценцией и заканчивается формированием доменной границы, окаймляющей облученную область. При наблюдении методом НЖК она выглядит в виде тонкой темной линии на светлом фоне остальной части образца (рис. 1, б). В полях  $E_{\text{п}} > E_{\text{пм}}$  возможно образование зародышей доменов и движение доменных стенок как в матрице, так и в облученной области.

После выключения внешнего постоянного поля существующее в месте облучения внутреннее поле приводит к «самопроизвольному» возвращению образца в исходное, имевшееся во время облучения, монодоменное состояние. Этот процесс начинается также с образования зародышей доменов с плотностью, экспоненциально зависящей от величины внутреннего поля. При наблюдении методом НЖК такой процесс приводит к обращению контраста: облученная область выглядит темной на светлом фоне матрицы (рис. 1, в).

На рис. 2 приведены полевые зависимости времени переключения матрицы (1) и облученных различными дозами областей того же образца ТГС (схема облучения — на вставке). Начальные точки кривых 2—4 соответствуют пороговым полям,  $E_{\text{пм}}$  процесса переполяризации соответству-

Поля активации  $\alpha$  и  $\delta$  процессов переполяризации  
для необлученной и облученной по  $P_s$  областей  
одного и то же образца ТГС

Поле активации	Участок переполяризующего поля	Интервал значений переполяризующих полей, В/см	Поля активации необлученной области, В/см	Поля активации облученной области, В/см		
				доза облучения, Мрад		
				0.065	0.27	0.54
$\alpha$	I	100—300	310	370	—	—
	II	300—600	600	1500	1620	4180
	III	600—1000	1100	3960	4420	6050
$\delta$	I	100—300	270	240	—	—
	II	300—600	520	600	900	2950

ющих областей. С увеличением дозы облучения время переключения растет (при одинаковом значении  $E_{\perp}$ ), что связано как с уменьшением плотности зародышей доменов, так и с уменьшением скорости бокового движения доменных стенок в месте облучения (рис. 3). Зависимости  $1/\tau_c(E)$  и  $v(E)$  являются экспоненциальными, значения полей активации  $\alpha$  и  $\delta$  [6]

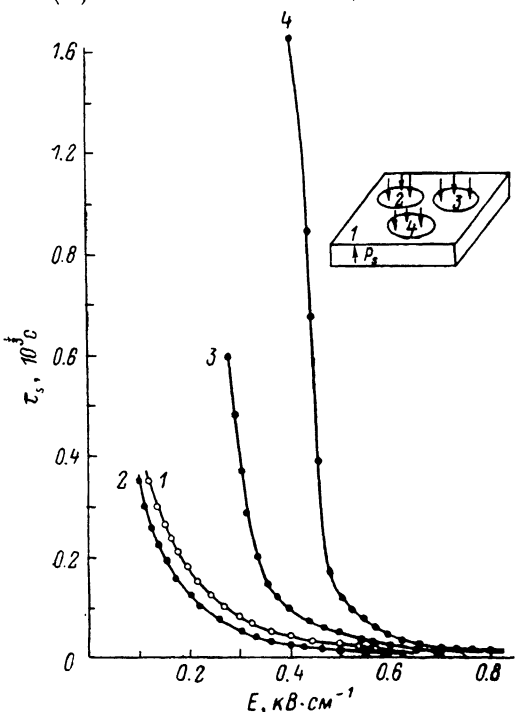


Рис. 2. Полевые зависимости полного времени переключения локально облученного образца ТГС для матрицы (1) и образцов, облученных дозами 0.065 (2), 0.27 (3) и 0.54 Мрад (4) областей.

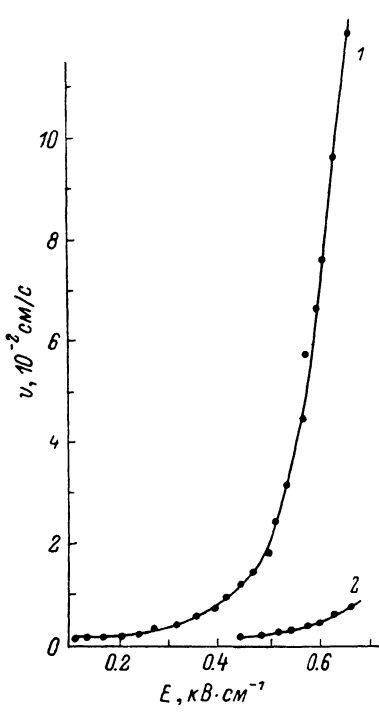


Рис. 3. Полевые зависимости скорости бокового движения доменных стенок образца ТГС в матрице (1) и в области, облученной дозой 0.54 Мрад (2).

возрастают с увеличением дозы (см. таблицу), что коррелирует с данными работ [7, 8], в которых  $\alpha$  в облученных образцах ТГС определялось по методике Мерца. Как видно из таблицы, на зависимостях  $\ln 1/\tau_c(1/E)$  и  $\ln v(1/E)$  для матрицы и слабо облученной ( $< 0.1$  Мрад) области в исследованном интервале внешних переполяризующих полей ( $10^2$ — $10^3$  В/см) имеются три линейных участка с различными значениями  $\alpha$  и  $\delta$ . При увеличении дозы первой линейный участок уменьшается (из-за увеличения  $E_n$ ) и при дозах  $D > 0.2$  Мрад отсутствует. Если для матрицы величина  $\alpha$ ,

близка к верхней границе соответствующего интервала внешних полей (как показано в [9]), то для облученной области на 2-м и 3-м участках зависимостей  $\ln 1/\tau_s$ ,  $(1/E)$  поля активации  $\alpha_s$  существенно выше значений внешнего переполяризующего поля (см. таблицу), что отмечено и в [7, 8].

2) Облучение образцов ТГС в направлении, перпендикулярно полосам, предварительно отожженные и монодоменированные образцы ТГС размером  $1 \times 1 \times 1$  см локально облучали таким образом, чтобы облученные области располагались на различном расстоя-

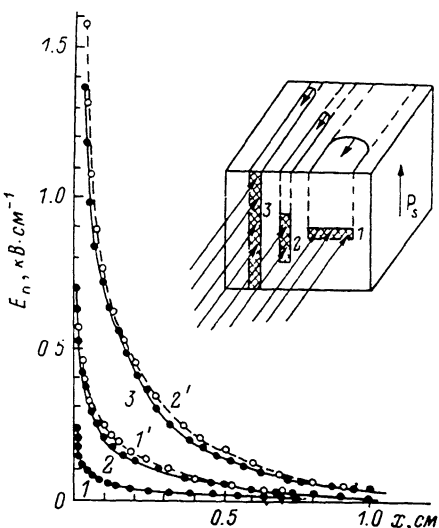


Рис. 4. Зависимость порогового поля  $E_n$  процесса переключения от расстояния  $x$  в локально облученном перпендикулярно  $P_s$  образце ТГС для областей, содержащих полоски 1, 2, 3 (кривые 1, 2, 3 соответственно).

1' и 2' получены пересчетом кривых 1 и 2.

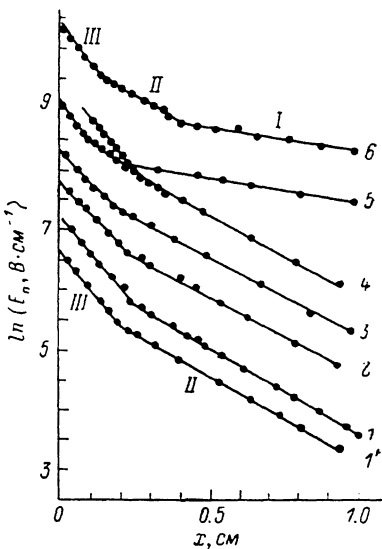


Рис. 5. Зависимости порогового поля  $E_n$  процесса переключения от расстояния  $x$  в локально облученных перпендикулярно  $P_s$  образцах ТГС (1—4 — чистый, 5 — ТГС+10 вес.%  $L$ — $\alpha$ -аланина в растворе, 6 — ТГС+50 вес.%  $L$ — $\alpha$ -аланина в растворе) с различной предысторией, температурой облучения  $T_0$  и дозой  $D$  облучения.

1 —  $T_0=22$  °C,  $D=2$  Мрад (1' — тот же образец, что и 1, после отжига в течение 3 ч при  $T=110$  °C); 2 — 50, 6.5; 3 — 25, 4.3; 4 — 25, 6.5.

ии от полярных поверхностей образца (схема эксперимента — на вставке к рис. 4). Наблюдение процесса переполяризации проводилось на полярных поверхностях приложением электрического поля в полярном направлении. В постоянном электрическом поле  $E$  сначала переключается необлученная матрица, затем при  $U_{n1}$  — область, содержащая полоску 1, при  $U_{n2}$  — область с полоской 2, и последней начинает переключаться область с полоской 3 при  $U_{n3}$ . Переключение каждой из этих полосок начинается с края образца, наиболее удаленного от входа рентгеновских лучей. При  $E=\text{const}$  доменные границы, окаймляющие еще не переключенную часть полосок, будут находиться на разном расстоянии  $x$  от входа рентгеновских лучей в образец (см. вставку на рис. 4). На рис. 4 приведены зависимости пороговых полей  $E_n$  переключения областей, содержащих локально облученные объемы 1—3, от расстояния  $x$ . Величина  $E_n$  рассчитывалась как  $U_n/d$ , где  $d$  — толщина образца по полярному направлению. Так как полоска 3 была облучена на всю толщину образца, то для нее  $U_n/d=E_n$  — истинное значение порогового поля. Остальные, кроме облученного объема, содержат и необлученные области и переключаются поэтому при меньших  $U_n$  и соответственно  $E_n$ . Величина  $E_n$  зависит

от размера облученной области по  $P_s$ . Пороговые поля всех локально облученных объемов оказываются близки между собой, если произвести пересчет полей  $E_{n1}$  и  $E_{n2}$  с учетом соотношения между высотой полосок  $d_1$  и  $d_2$  по  $P_s$ , и толщиной образца  $d_3$ , т. е.  $E'_{n1}=E_{n1}d_2/d_1$ ,  $E'_{n2}=E_{n2}d_3/d_2$  (рис. 4, кривые 1', 2'), что и следовало ожидать, так как дозы облучения для всех образцов практически одинаковы (возможна некоторая неоднородность рентгеновского пучка по образцу).

На рис. 5 представлены зависимости  $E_n(x)$  для полосок типа 2 образцов ТГС с различной предысторией, различными примесями и температурой облучения. Во всех случаях зависимости являются экспоненциальными:  $E_n=E_{\text{оп}}l^{-kx}$ , где  $E_{\text{оп}}$  — пороговое поле у облучаемой поверхности находится экстраполяцией прямой  $\ln E_n(x)$  к значению  $x=0$ . Зависимость  $E_n=E_{\text{оп}}l^{-kx}$  коррелирует с законом изменения интенсивности рентгеновских лучей  $I=I_0e^{-\mu x}$ , где  $\mu$  — линейный коэффициент ослабления. Однако из рис. 5 можно видеть, что зависимости  $\ln E_n(x)$  содержат несколько линейных участков с различными значениями показателя экспоненты  $k$ . Значения  $k$  на соответствующих участках  $k_1=1.1 \pm 0.2$ ,  $k_2=3 \pm 0.3$ ,  $k_3=6 \pm 2$  см<sup>-1</sup> не зависят от предыстории образца, температуры облучения, рода и концентрации примеси. При этом участки зависимостей  $\ln E_n(x)$  с одинаковым значением  $k$  для кристаллов ТГС и ТГС:  $L$  —  $\alpha$ -аланин смещены по  $x$  относительно друг друга. Для чистых кристаллов ТГС 1-й участок с  $k=1.1 \pm 0.2$  см<sup>-1</sup> находится на расстоянии  $x > 1$  см от входа рентгеновских лучей в образец. Величина порогового поля процесса переключения  $E_n$  зависит от дозы, температуры облучения ( $T < T_c$  или  $T > T_c$ ) и предыстории образца, при этом во всех исследованных образцах ТГС на пути рентгеновских лучей в 1 см пороговые поля изменяются в 15—30 раз.

Если облучение монодоменного образца производилось в полярной фазе ( $T=25$  °C), то переполяризация области, содержащей облученный объем, происходит при одном знаке поля ( $E \uparrow P_s$ ) и в поле  $E=0$  эта область самопроизвольно возвращается в исходное состояние со скоростью, зависящей от дозы облучения. При облучении образца в неполярной фазе (при  $T=50$  °C) пороговое поле  $E_n$ , измеренное после охлаждения при комнатной температуре, линейно зависит от дозы облучения, но облученная область переключается при обоих знаках поля.

## 2. Обсуждение результатов

Исследование локально облученных образцов ТГС показало, что кинетика процесса переключения изменяется не только при облучении полярной поверхности, но и при облучении любой части объема образца. Во всех случаях формируется внутреннее поле, что проявляется в существовании порогового поля процесса переполяризации части образца, содержащей радиационные дефекты. Даже если зарождение доменов произойдет на полярной поверхности в более слабых полях, чем  $E_n$ , то полного переключения образца не произойдет до тех пор, пока зародышы доменов не прорастут сквозь поврежденный облучением объем, а для этого необходимо повысить внешнее поле до  $E_n$ . Этот процесс непосредственно наблюдался с помощью НЖК на поверхности (100) образца ТГС приложении постоянного поля по  $P_s$ .

Независимость показателя  $k$  в выражении  $E_n=E_{\text{оп}}e^{-kx}$  от условий облучения и предыстории образца указывает на образование во всех случаях дефектов одинаковой природы. Напротив, величина порогового поля (т. е. количество возникающих радиационных дефектов) весьма чувствительна к исходному состоянию образца, количеству и виду примеси в нем и к условиям облучения.

Поскольку  $E_n$  характеризует устойчивость поляризации образца к обращению ее направления внешним полем, а этот процесс обязательно начинается со стадии образования зародышей доменов, то большие значения  $E_n$  у образцов, облученных в сегнетофазе, по сравнению с облучен-

ченными в парафазе свидетельствуют о том, что при наличии спонтанной поляризации образующиеся при облучении дефекты захватываются на более глубокие ловушки. Пропорциональность между  $P$ , и величиной внутреннего поля установлена в [5]. С увеличением дозы растет количество радиационных дефектов, что также приводит к увеличению  $E_n$ .

Если считать, что значение показателя экспоненты  $k$  соответствует коэффициенту ослабления рентгеновских лучей  $\mu$  в формуле  $I = I_0 e^{-\mu x}$ , то из зависимости  $\mu$  от энергии рентгеновских лучей [3] можно оценить энергию наиболее эффективно повреждающих кристаллы ТГС фотонов. Она составляет  $27 \pm 1$ ,  $17.5 \pm 0.5$  и  $14 \pm 1$  кэВ. Фотоны с такой энергией могут изменить лишь водородные связи в кристаллах ТГС, что согласуется с данными структурного анализа облученных образцов [10]. Показано, что при облучении рентгеновскими лучами происходит разрыв водородной связи глицин 1—сульфат-ион, в результате чего появляются свободные протоны, закрепляющиеся затем на ионе  $SO_4^{2-}$ . Различия в воздействии рентгеновских лучей на чистые кристаллы ТГС и с примесью  $L-\alpha$ -аланина также указывают на роль водородных связей глициновой группы 1, так как именно эту молекулу замещает молекула  $L-\alpha$ -аланина, а глицин 1 несет основную ответственность за реориентацию поляризации.

Таким образом, поглощение рентгеновского излучения кристаллами ТГС избирательно и имеются по крайней мере три полосы значений энергии квантов, наиболее эффективно повреждающих структуру ТГС, и соответственно несколько типов возникающих при этом радиационных дефектов. Изменяя толщину исследуемых образцов ТГС и толщину помещаемого перед ними фильтра (из того же материала), можно создавать дефекты одного типа, что облегчит выяснение их природы.

### Л и т е р а т у р а

- [1] Пешиков Е. В. Действие радиации на сегнетоэлектрики. Ташкент: Фан, 1972. 136 с.
- [2] Тихомирова Н. А., Донцова Л. И., Пикин С. А., Шувалов Л. А. Письма в ЖЭТФ, 1979, т. 29, № 1, с. 37—40.
- [3] Волк Т. Р., Медников С. В. В сб.: Сегнетоэлектрики и пьезоэлектрики. Калининград: Изд-во КГУ, 1982, с. 85—93.
- [4] Тихомирова Н. А., Донцова Л. И. и др. ФТТ, 1986, т. 28, № 11, с. 3319—3328.
- [5] Павлячек Ч., Павловски А., Хильчер Б. Кристаллография, 1979, т. 24, № 5, с. 1076—1078.
- [6] Донцова Л. И., Булатова Л. Г. и др. Кристаллография, 1982, т. 27, № 2, с. 305—312.
- [7] Ravi R., Narayanan P. S. Ferroelectrics, 1981, vol. 39, N 1/2/3/4, p. 1221—1224.
- [8] Schlembach H., Jurisch F., Grummich B. Ferroelectrisität, 1986, Martin—Luther—Universität, Halle—Wittenberg, Wissenschaftliche Beiträge, 1986/66 (021) Halle—(Saale), p. 103—1—6.
- [9] Тихомирова Н. А., Донцова Л. И. Письма в ЖЭТФ, 1985, т. 41, № 5, с. 183—185.
- [10] Fletcher S. R., Keve E. T., Skapski A. C. Ferroelectrics, 1976, vol. 14, N 3/4, p. 789—799.

Институт кристаллографии АН СССР  
Москва

Поступило в Редакцию  
18 марта 1988 г.